

КРАТКИЕ СООБЩЕНИЯ

05; 12

Журнал технической физики, т. 61, в. 4, 1991

© 1991 г.

ГИБРИДНЫЙ ПТ РЕСКВИД

С. А. Буш, Р. Л. Зеленкевич, В. А. Комашко, Г. С. Кривой, А. М. Чернин

Двухконтактный сверхпроводящий интерферометр, в котором часть сверхпроводящего кольца заменена резистивным участком, называется ПТ рееквидом [1]. ПТ рееквид может быть использован в качестве альтернативного одноконтактному резистивному сквиду [2] датчика в вольтметрах [3], болометрах [4] и шумовых термометрах [5]. В настоящее время известны две работающие конструкции ПТ рееквида: объемная конструкция, в которой точечные контакты настраиваются в жидком гелии, а резистивный участок выполнен в виде пластиинки из меди или нейзильбера [6], и рееквид, который выполнен по тонкопленочной технологии с контактами типа мостика переменной толщины и резистивным участком из алюминиевой проволочки [1].

Обе конструкции неудобны для исследования рееквида. Первая — из-за необходимости настраивать датчик *in situ* и невоспроизводимости характеристик джозефсоновских контактов, вторая — из-за невозможности изменения параметров рееквида. Кроме того, обе эти конструкции требуют дополнительного экранирования.

В данной работе описываются конструкция и результаты экспериментального исследования гибридного ПТ рееквида.

Основой рееквида является многослойный тонкопленочный чип, выполненный на окисленной кремниевой подложке размерами 1.5×2 мм. На подложке методом реактивного геттерного магнетронного распыления ниобия на постоянном токе [7] сформированы два тунNELьных джозефсоновских контакта. В качестве базовых электродов тунNELьных джозефсоновских контактов служат пленки нитрида ниобия толщиной 0.3 мкм. Материалом для изолирующего барьера является слой окисла ниобия, образованный после предварительной высокочастотной очистки поверхности базовых электродов методом высокочастотного окисления в рабочей смеси, состоящей из 93 % аргона и 7 % кислорода. Необходимая топология контактов сформирована стандартными методами фотолитографии, химического или плазмохимического травления. Каждый из контактов имеет площадь 20 мкм и шунтируется алюминиевым резистором. Чип защищен слоем окиси кремния. Переходы имеют одну общую и две раздельных контактных площадки, при замыкании которых резистивной закороткой образуют ПТ рееквид с контуром квантования 100×300 мкм. В качестве резистивного участка использовались пластиинки из индия, меди, шунтированной ниобием, и индия, шунтированного свинцом. Сверхпроводящий токоподвод к чипу обеспечивается с помощью пластинок толщиной около 20 мкм из сверхпроводящего сплава, содержащего по 50 % индия и олова. Крепление и экранировка чипа осуществляются с помощью ниобиевой пластиинки, прижимающей через майларовую прокладку сверхпроводящие токоподводы к контактным площадкам чипа. Исследуемый рееквид был построен на основе джозефсоновских контактов с параметрами $I_{c1}=4.8$ мА, $R_{n1}=5.2$ Ом; $I_{c2}=6.7$ мА, $R_{n2}=4.7$ Ом, где $I_{c1,2}$ и $R_{n1,2}$ — критические токи и нормальные сопротивления первого и второго джозефсоновских контактов.

Для обеспечения рабочего режима рееквида используются два источника тока. Источник тока смещения подключен к первому джозефсоновскому контакту рееквида, второй источник задает ток через резистивный участок. При превышении током смещения некоторой величины I_{cmax} (называемой нами максимальным критическим током ПТ рееквида) и протекании через резистивный участок тока I_r , создающего на нем напряжение $U_r=I_r \cdot R$, где R — сопротивление резистивного участка ($R \ll R_n$), на рееквиде появляется напряжение сигнала U_b . Низкочастотная (по сравнению с частотой генерации контактов) компонента этого сигнала может быть представлена [6] гармонической аппроксимацией вида

$$U_b = \bar{U}_b + U_q \cos \left[(2\pi/\Phi_0) \left(\int U_r dt + \text{const} \right) \right].$$

Таким образом, выходной сигнал с амплитудой U_q будет осциллировать с частотой $f = U_r/\Phi_0$, \bar{U}_b — среднее значение напряжения на ресквиде, Φ_0 — квант магнитного потока.

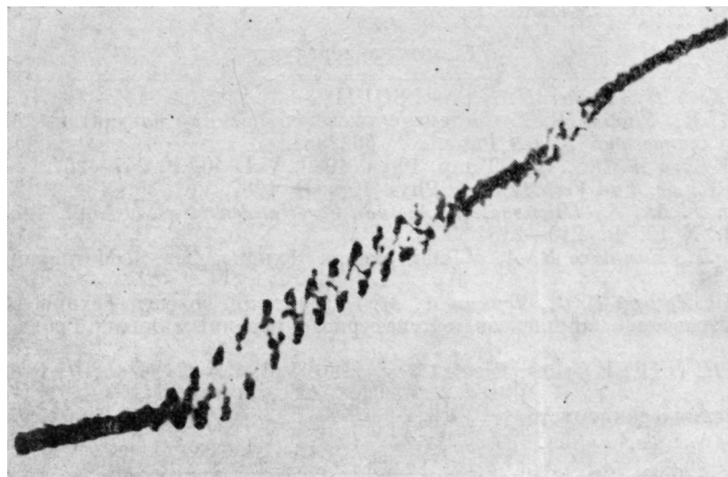


Рис. 1. Вольт-амперная характеристика ресквида.

Выходной сигнал снимается со второго контакта; для согласования импедансов ресквида и усилителя используются трансформаторы Unipan 233-7-1 (2), в качестве усилителя применен селективный нановольтметр Unipan 237.

При использовании резистивного участка из индия вид вольт-амперной характеристики показан на рис. 1. ПТ ресквиде имеет параметры $I_{c\min}=5$ мА, $I_{c\max}=9$ мА, $R_n=2.5$ Ом, максимальная амплитуда сигнала около 5 мВ. На рис. 1 видно немонотонное изменение амплитуды сигнала ПТ ресквида. Подобные явления наблюдались в экспериментах [6], но не были поняты. Мы считаем, что они связаны с резонансными явлениями, происходящими в цепи, образуемой емкостями джозефсоновских контактов и индуктивностью контура квантования ресквида. Это предположение ранее было проверено на электронной аналоговой модели [8].

Была оценена индуктивность контура квантования ресквида из соображений геометрии [9] и по глубине модуляции криттоха с учетом несимметрии контактов, эта оценка составляет 40 ± 15 пГн. Результаты исследования зависимости частоты сигнала с ресквида от тока смещения через резистивный участок при различных значениях тока смешения представлены на рис. 2. В различных модификациях конструкций ресквида сопротивление резистивного участка, выполненного из индия, изменялось в диапазоне $0.34 \dots 1.6$ мкОм. Параметры ресквида оставались неизменными (в пределах $3 \dots 5$ %) при многократных термоциклированиях. Сопротивление резистивного участка из десятимикронной медной фольги, покрытой слоем ниobia, составляет 10 фОм. Для оценки сопротивления резистивного участка измерялось приращение частоты джозефсоновой генерации, вызванное заданным приращением тока I_r . Сопротивление рассчитывалось из нестационарного соотношения Джозефсона [2].

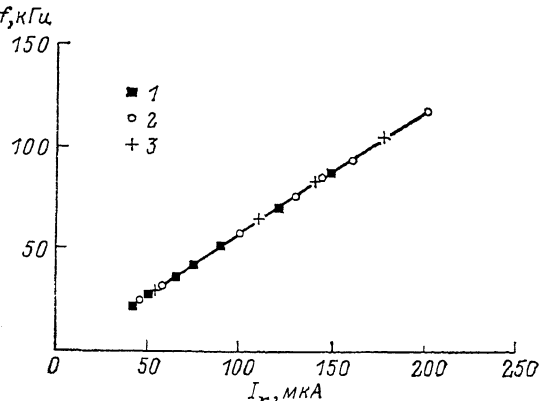


Рис. 2. Зависимость частоты сигнала с ресквида от тока I_r при различных значениях I_b .
1 — 15, 2 — 16, 3 — 17 мкА.

Предполагается использовать данный рееквид в качестве датчика шумового термометра от единиц милликельвин. Исследования дисперсии частоты генерации сигнала показали необходимость оптимизации усилительного тракта с целью снижения его шумовой температуры.

В целом предлагаемый датчик оказался не только удобным инструментом для исследований электродинамики рееквидов, но и пригодным для практических применений.

Список литературы

- [1] Erne S., Koch H., Luther H. // Proc. SQUID's 85. 1985. P. 165—170.
- [2] Лихарев К. К., Ульрих Б. Т. Системы с джозефсоновскими контактами. М., 1978. 447 с.
- [3] Silver A., Zimmerman J. US Patent. N 3622881.
- [4] Park J., Vaidya A. // J. Low Temp. Phys. 1980. Vol. 40. P. 247—257.
- [5] Soulen R. J., Jr., Van Vechten D. // Phys. Rev. B. 1987. Vol. 36, N 1. P. 239—265.
- [6] Verschueren J. M. V., Uiterwaal A. A., van der Heijden et al. // Appl. Phys. Lett. 1983. Vol. 43, N 15. P. 210—215.
- [7] Носков В. Л., Комашко В. А. // Электронная техника. Гер. 6. Материалы. 1981. № 4. С. 33—36.
- [8] Буш С. А., Кривой Г. С., Чернин А. М. // Тез. докл. совещ. «Техническое и программное обеспечение комплексов полунатурного моделирования». Гродно, 1988. Ч. 1. С. 40.
- [9] Zapre H. H. // IEEE Trans. Electr. Dev. 1980. Vol. ED-27. N 10. P. 1870—1882.

Омский политехнический институт

Поступило в Редакцию
3 февраля 1990 г.

01; 12

Журнал технической физики, т. 61, с. 4, 1991

© 1991 г.

МАТЕМАТИЧЕСКАЯ МОДЕЛЬ МАСС-АНАЛИЗАТОРА СО СКРЕЩЕННЫМИ ПОЛЯМИ

A. B. Губин

В работе [1] сообщается о масс-спектрометре со скрещенными полями, созданном на базе серийного прибора МИ 1201. Для этого был увеличен зазор магнитного анализатора и в нем размещена многоэлектродная фокусирующая система (МЭФС), выполненная в виде концентрических электродов, нанесенных симметрично на две параллельные диэлектрические пластины (см. рисунок). Учитывая перспективность подобных конструкций анализатора со скрещенными полями, и с целью их численного моделирования была разработана математическая модель анализатора.

Принимая во внимание геометрические особенности МЭФС и соотношения между параметрами ($L/r_0 \ll 1$, $H/r_0 \ll 1$, $G/r_0 \ll 1$, $g/r_0 \ll 1$, $l_0/r_0 \ll 1$, $l_k/r_0 \ll 1$, $(R_{r0}^2 - R_{r0})/r_0 \ll 1$, $(R_{rk}^2 - R_{rk})/r_0 \ll 1$), распределение потенциала внутри системы можно представить в виде ряда $V(\eta, \zeta) = \sum_{k, l=0}^{\infty} a_{k, l} \eta^{k+2l}$, где $\eta = (r - r_0)/r_0$, $\zeta = z/r_0$. При этом коэффициенты $a_{k, l}$ определяются из рекуррентного соотношения

$$a_{k, l+1} = \frac{1}{(2l+2)(2l+1)} \left[(-1)^k \sum_{m=1}^{k+1} (-1)^m m a_{m, l} - (k+2)(k+1) a_{k+2, l} \right],$$

где $k=0, 1, 2, \dots$; $l=0, 1, 2, \dots$; коэффициенты $a_{k, 0}$ являются независимыми и связаны с расположением поля в средней плоскости.

Ввиду нарушения аксиальной симметричности поля МЭФС на краях его потенциальную функцию представим в виде $V(\eta, \varphi, \zeta) = \sum_{k, l=0}^{\infty} b_{k, l}(\eta, \varphi, \zeta) \eta^{k+2l}$. Предполагаем при этом, что $b_{k, l}(\eta, \varphi, \zeta)$ на плоскостях, где расположены верхние и нижние электроды, принимают